

---

---

ПРИКЛАДНАЯ МАТЕМАТИКА

---

---

УДК 681.3.06:624.13

Оптимизация алгоритма численного моделирования устойчивости  
нелинейных систем деформируемых твёрдых тел

В. Е. Быховцев, К. С. Курочка, В. В. Бондарева

**Постановка задачи**

В настоящей работе рассматриваются алгоритмы исследования нелинейных математических моделей пространственных нелинейных систем деформируемых твёрдых тел. Оптимизация задач рассматриваемого класса предусматривает следующие этапы: построение оптимальной схемы дискретизации виртуальной физической модели исследуемой системы; определение эффективных методов решения нелинейной краевой задачи и системы алгебраических уравнений высокого порядка.

**Дискретизация физической системы**

В настоящей работе дискретизацию предлагается производить конечными элементами в форме параллелепипедов, каждый из которых в свою очередь разбивается тремя секущими плоскостями на шесть равновеликих тетраэдров. При этом дискретизация должна быть согласованной, что возможно при условии гомеоморфности противоположных граней параллелепипеда. Такой двухступенчатый подход к процессу дискретизации является достаточно удобным и гибким для построения дискретизованной области нерегулярной структуры.

**Используемые алгоритмы решения поставленной задачи**

В качестве исследуемых методов решения системы алгебраических уравнений (СЛАУ) были выбраны метод Гаусса, метод квадратного корня и метод сопряжённых градиентов с преобусловливанием Холецкого.

Для нахождения нелинейного решения граничной задачи использовались метод начальных напряжений [2, 3] и методы энергетической линеаризации [1, 2, 4].

В методах начальных напряжений и энергетической линеаризации предполагается, что закон деформирования элементов системы можно представить в виде:

$$\{\sigma\} = \Psi(\{\varepsilon\}) \quad \text{или} \quad \sigma_i = f(**) \varepsilon_i, \quad (1)$$

где  $f(**)$  – функция модуля упругости при нелинейном деформировании, при линейном деформировании  $f(**) = E$ ,  $E$  – модуль упругости,  $\sigma_i, \varepsilon_i$  – интенсивность напряжений и деформаций. В частности при нелинейно-упругом деформировании

$$(\sigma_i = A\varepsilon_i^m, \quad A > 0, \quad 0 < m < 1); \quad (2)$$

при линейно-упругом деформировании

$$\sigma_i = E\varepsilon_i. \quad (3)$$

Метод начальных напряжений итерационный, при его использовании совместно с методом конечных элементов на каждой итерации необходимо решать следующую линейную задачу:

$$[K] \{g_i\} = \{R_i\}, \quad (4)$$

с различной правой частью  $\{R_i\}$ , которая корректируется на каждой итерации в зависимости от разницы между действительными напряжениями и достигнутыми. Матрица  $[K]$  на каждой итерации остаётся постоянной, т.е. можно один раз вычислить  $[K]^{-1}$  и затем использовать её в дальнейших расчётах. Т.о., время, затрачиваемое на проведение последующих итераций, будет значительно меньше времени нахождения линейного решения. Для вычисления обратной матрицы использовался метод Гаусса и  $[L][D][L]^T$  разложение, модифицированные авторами, с целью учёта ленточной структуры и симметричности матрицы  $[K]$  [5].

В методе энергетической линейаризации краевой задаче нелинейной теории упругости телу объёма  $V$  с границей  $\Gamma$  и законом деформирования (1) ставится в соответствие геометрически тождественное гипотетическое линейно-упругое тело с законом деформирования

$$\sigma_i^r = E^r \varepsilon_i. \quad (5)$$

Модуль упругости  $E^r$  подлежит определению и должен быть таким, чтобы при тождественных граничных условиях для обоих тел их смещения совпадали.

В соответствии с принципом возможных перемещений [2, 4] для всякой сплошной среды

$$\delta \left( \int_V \Pi \, dV - W \right) = 0, \quad (6)$$

$\Pi$  – потенциал деформации,  $W$  – работа внешних сил.

$$\text{Для единичного элемента} \quad \Pi = \frac{\varepsilon^2}{6k} + \int_0^{\varepsilon_i} \sigma_i \, d\varepsilon_i, \quad k = \frac{1-2\mu}{E},$$

где  $\varepsilon$  – средняя деформация,  $k$  – коэффициент объёмного сжатия.

В силу поставленного условия для модуля упругости  $E^r$  и тождественности граничных условий для рассматриваемых твёрдых тел можно утверждать, что работы внешних сил на смещениях для исследуемого нелинейно – деформируемого и гипотетического линейно-упругого тел будут равны, т.е. будем иметь  $W^n = W^r$ , тогда

$$\delta \int_V (\Pi^n - \Pi^r) \, dV = \delta \int_V \left( \int \sigma_i^n \, d\varepsilon_i - \int \sigma_i^r \, d\varepsilon_i \right) \, dV = \delta \int_V \left( \int f(**) \, \varepsilon_i \, d\varepsilon_i - E^r \int \varepsilon_i \, d\varepsilon_i \right) \, dV = 0,$$

$\Pi^n$  – энергия деформации нелинейно-упругого тела,

$\Pi^r$  – энергия деформации гипотетического линейно – упругого тела, индексы “n” и “r” – признаки нелинейно-упругого и гипотетического линейно – упругого тел.

Полученное выражение представим в следующей форме

$$\delta \int_V \varepsilon_i (F(\varepsilon_i) - \sigma_i^r / 2) \, dV = \int_V \delta \varepsilon_i (F(\varepsilon_i) - \sigma_i^r / 2) \, dV = 0, \quad (7)$$

где  $F(\varepsilon_i) = \varepsilon_i^{-1} \int f(**) \, \varepsilon_i \, d\varepsilon_i$ .

В соответствии с основной леммой вариационного исчисления из (7) следует:

$$F(\varepsilon_i) - \sigma_i^r / 2 = 0. \quad (8)$$

При законе деформирования в виде (2) из (8) получим:

$$\sigma_i^n = 0,5 (1+m) \sigma_i^e \quad (9)$$

Подставим (9) в уравнение состояния (2) и, учитывая закон Гука  $\sigma_i^e = E \varepsilon_i^e$ , решим его относительно  $\varepsilon_i$ , получим:

$$\varepsilon_i = \left( \frac{1+m}{2A} E_0 \varepsilon_i^e \right)^{\frac{1}{m}},$$

$$E^r = \frac{\sigma_i^e}{\varepsilon_i} = E_0 \left[ \frac{2A}{(1+m)E_0\varepsilon_i^{1-m}} \right]^{\frac{1}{m}}.$$

Если закон деформирования имеет вид

$$(\sigma_i^h = E_0 \varepsilon_i - B \varepsilon_i^m, \quad B > E, \quad m > 1),$$

то  $\varepsilon_i$  определяется из уравнения:  $E_0 \varepsilon_i - 2B/(1+m) \varepsilon_i^m = \sigma_i^e$ , в этом случае

$$E^r = \sigma_i^e / \varepsilon_i = E_0 - 2B / (1+m) \varepsilon_i^{m-1}.$$

Для полученных значений  $E^r$  решается линейная задача, которая, согласно принятым условиям, будет являться и решением исходной нелинейной задачи.

**Моделирование**

Исследование методов проводилось на решении краевой задачи нелинейной механики грунтов, для которой известны результаты натурального эксперимента [2].

*Модельная задача 1.* Определить осадку железобетонной висячей сваи сечением 0,25-0,25м при глубине погружения 5м в нелинейно-деформируемое грунтовое основание под действием вертикальной статической нагрузки  $q$  [2]. Приведённые начальные характеристики грунтового основания  $E = 6.875$  МПа,  $\mu = 0.41$ .

При моделировании уравнение состояния принято в виде (2). Значения параметров  $A$  и  $m$  определены на основании экспериментальных данных, при этом получено  $A = 4,55$  МПа,  $m = 0.29$ . Задача рассматривалась как пространственная. В методе начальных напряжений применялся коэффициент ускорения сходимости, который для рассматриваемых модельных задач оказался равным 1.55.

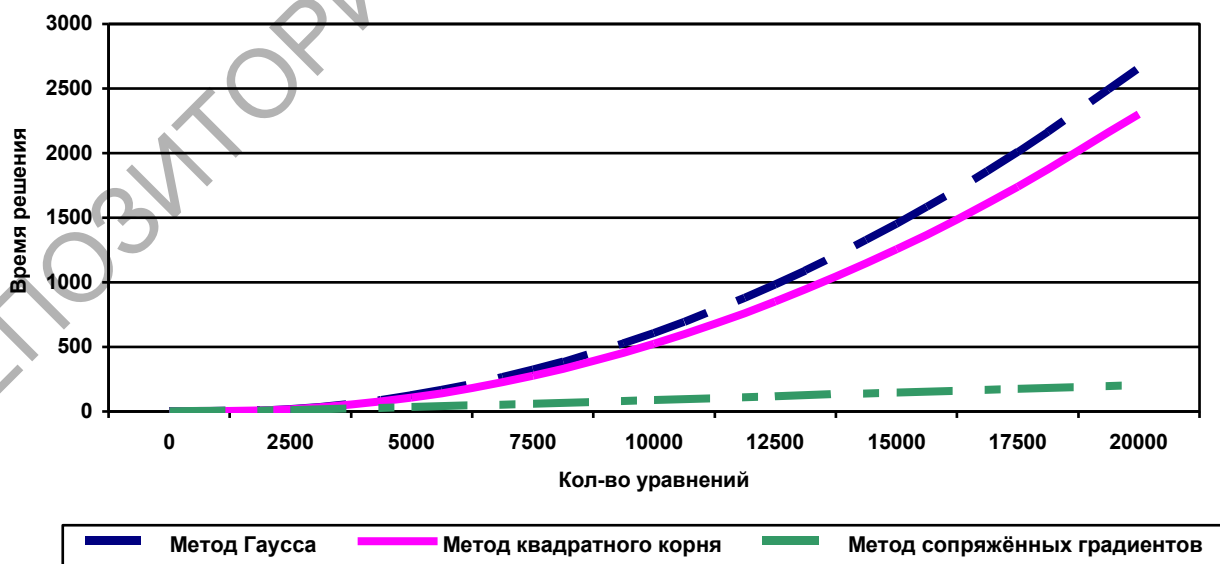


Рисунок 1 – Влияние метода решения СЛАУ на скорость их решения при различных схемах дискретизации

Таблица 1 – Осадки одиночной висячей сваи,  $q=200\text{кН}$ 

Метод решения СЛАУ	Линейное решение (1-я итерация)		Метод энергетической линеаризации		Метод начальных напряжений		
	Время, с	Осадка, см	Время, с	Осадка, см	Время, с	Кол-во итераций	Осадка, см
Гаусса	57	0.47	112	2.21	497	9	2.26
Квадратного корня	54	0.48	110	2.20	486	9	2.27
Сопряжённых градиентов (1 подход)	28	0.48	57	2.22	252	9	2.28
Сопряжённых градиентов (2 подход)	28	0.48	49	2.21	151	9	2,29
Обратная матрица (метод Гаусса)	578	0.49	1157	2.24	579	9	2.25
Обратная матрица ( $[L][D][L]^T$ разложение)	539	0.48	1078	2.21	540	9	2.27
Используя $[L][D][L]^T$ разложение	54	0.48	108	2.20	55	9	2.27
Эксперимент		2.24		2.24			2.24

В силу симметричности, рассматривалась одна четверть расчетной области. Точность решения выбрана 0.001. Результаты вычислений приведены на графике рисунка 1 и в таблице 1.

*Модельная задача 2.* Рассматривается предыдущая задача при действии нагрузки  $q = 200\text{кН}$ . Но расчётная область разбивалась на различное количество узлов: 1800, 3685, 7290, 11664, 24336. Получаемая СЛАУ решалась методом квадратного корня, сопряжённых градиентов с предобуславливанием Холецкого. Обращение матрицы осуществлялось с использованием  $[L][D][L]^T$  разложения. Результаты моделирования приведены в таблице 2 и на рисунке 2.

Таблица 2 – Осадки одиночной висячей сваи при нагрузке  $q=200\text{кН}$ , 3675 узлов

Метод решения СЛАУ	Метод энергетической линеаризации		Метод начальных напряжений		
	Время, с	Осадка, см	Время, с	Кол-во итераций	Осадка, см
Квадратного корня	103	2.20	486	9	2.27
Сопряжённых градиентов (2 подход)	49	2.21	151	9	2,29
Обратная матрица ( $[L][D][L]^T$ разложение)	1078	2.21	1079	9	2.27
Используя $[L][D][L]^T$ разложение	103	2.20	51	9	2.27
Эксперимент		2.24			2.24

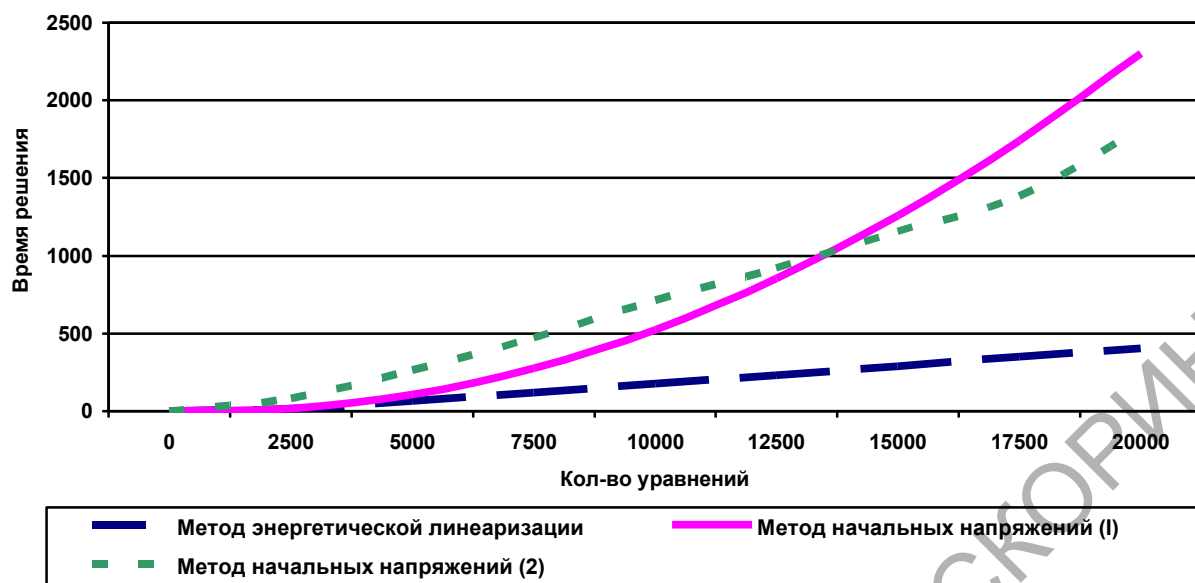


Рисунок 2 – Влияние методов решения нелинейных задач на скорость их решения при различных схемах дискретизации

На рисунке 2 представлено время решения нелинейной краевой задачи методом энергетической линейризации при решении СЛАУ методом сопряжённых градиентов при использовании 2 подхода. В методе начальных напряжений в первом случае применялось  $[L][D][L]^T$  разложение, во втором – использовался метод сопряжённых градиентов.

#### Основной вывод

При компьютерном моделировании нелинейных систем деформируемых твёрдых тел наиболее эффективными являются метод энергетической линейризации в сочетании с методом сопряжённых градиентов с предобуславливанием Холецкого, которые позволяют исследовать пространственные нелинейные системы МКЭ на сетке  $50 \times 50 \times 50$  узлов, что соответствует СЛАУ с 375000 неизвестных.

**Abstract.** The construction of the optimum algorithm of definition of stability of nonlinear systems of deformable solids is investigated in the paper.

#### Литература

1. Бондарева, В.В. Компьютерное моделирование осадок структур свай на нелинейно-деформируемом грунтовом основании / В.В. Бондарева // Материалы, технологии, инструменты, 2000. – №4. – с.13-16.
2. Быховцев, В. Е. Компьютерное объектно-ориентированное моделирование нелинейных систем деформируемых твёрдых тел / В. Е. Быховцев. – Гомель: УО «ГГУ им. Ф. Скорины», 2007. – 219с.
3. Зенкевич, О. Метод конечных элементов в технике / О. Зенкевич. – М.: Мир, 1975. – 540с.
4. Курочка, К. С. Метод численного решения краевых задач нелинейной теории упругости / К. С. Курочка // Вестник ГГТУ им. П. О. Сухого, 2005. – №1. – С. 49–57.
5. Самарский А. А. Численные методы: Учеб. пособие для вузов / А. А. Самарский, А. В. Гулин. – М.: Наука. Гл. ред. физ.-мат. лит., 1989. – 432с.